



بررسی شیمی کانی، همبرزایی و سن سنجی سنگ‌های دیابازی گنبدهای نمکی سازند هرمز، جنوب ایران (استان هرمزگان)

پریچهر احمدی مقدم^{*}، محسن مرتضوی^۱، محمد پوستی^۱، حمید احمدی پور^۲

۱- گروه زمین‌شناسی، دانشکده علوم، دانشگاه هرمزگان، بندرعباس، ایران

۲- گروه زمین‌شناسی، دانشکده علوم، دانشگاه شهید باهنر، کرمان، ایران

(دریافت مقاله: ۹۶/۲/۱۷، نسخه نهایی: ۹۶/۷/۱)

چکیده: سنگ‌های دیابازی سازند هرمز، دستخوش انواع فرآیندهای ثانویه دگرسانی و دگرگونی رخساره‌ی شیست سبز تا اوایل رخساره‌ی آمفیبولیت شده‌اند. این سنگ‌ها، در نتیجه فرآیند دگرنهادی نفوذی و دگرسانی گرمابی، دگرسان و به دلیل سیال‌های آبدار غنی از CO_2 و برهمنکش سنگ‌سیال، دگرگون شده‌اند. کانی‌های فلدوپات، پیروکسن، الیوین، آپاتیت، روتیل، مگنتیت و پیریت، جزء کانی‌های ماگمایی اولیه‌ی این سنگ‌ها و سایر کانی‌های موجود در این سنگ‌ها، فراورده تبدیل کانی‌های اولیه در اثر دگرسانی و دگرگونی گرمابی هستند. فلدوپات‌ها به لابرادوریت، آلبیت و ارتوکلاز تفکیک می‌شوند. لابرادوریت و آلبیت در دمای کمتر از ۷۰۰ درجه‌ی سانتی‌گراد و فشار کمتر از ۶ کیلوبار متبلور شده‌اند که شرایط دمای باز تبلور آنهاست. ارتوکلاز در ۷۰۰ درجه‌ی سانتی‌گراد، ۶ کیلوبار و بیش از ۱۰۰۰ درجه‌ی سانتی‌گراد، بیش از ۷ کیلوبار متبلور شده‌اند و جزء کانی‌های ماگمایی است. کلینوپیروکسن‌ها به اوژیت و دیوپسید تفکیک می‌شوند که در دمای ۱۱۰۰ تا ۱۳۰۰ درجه سانتی‌گراد متبلور شده و جزء کانی‌های ماگمایی هستند. پیروکسن‌ها نیمه قلیایی تا قلیایی هستند و در محیط بازالت‌های تولئیتی درون‌صفحه‌ای یا بازالت‌های کفاقیانوسی تشکیل شده‌اند. پلیزیوکلاز فلدوپات‌ها و کلینوپیروکسن‌ها شرایط اکسیدان را نشان می‌دهند. با توجه به زیرکن‌های تجزیه شده‌ی دیابازهای گنبد نمکی بند معلم ($\text{Ma} \pm 6.4 \pm 5.9/4$) و گنبد نمکی چمپه ($\text{Ma} \pm 6.1 \pm 5.4/5$)، سن تبلور و تشکیل این سنگ‌ها، کامبرین پیشین است. بیشتر این زیرکن‌ها، خاستگاه ماگمایی دارند. سن این دیابازهای نشان می‌دهد که نفوذ آنها همزمان و/یا پس از شروع کافت‌شدگی پیشین زیستی نو تا کامبرین پیشین بخش شمالی صفحه‌ی عربستان و رسوب‌گذاری سازند هرمز در حوضه‌ی خلیج فارس بوده است.

واژه‌های کلیدی: گنبد نمکی؛ سازند هرمز؛ دیاباز؛ شیمی کانی؛ همبرزایی؛ سن سنجی.

مقدمه

سنگ، دولومیت، آهک، گچ و سنگ‌های ماگمایی، مانند ریولیت و دیاباز را سازند هرمز نام نهاده‌اند و با مقایسه آن با معادلهای خود یعنی سری ریزو در استان کرمان و سازند سلطانیه در البرز [۲]، سن این مجموعه را اینفراکامبرین [۳] یا پیشین زیستی نو-کامبرین پیشین [۴] برآورد کرده‌اند. سنگ‌های نفوذی دیابازی با نام کلی سنگ‌سبز [۲]، تنها نشانه‌ی ترکیبات احتمالی پی‌سنگ را فراهم می‌کنند [۲]. همچنین گنبدهای نمکی در جنوب ایران بخش بسیار مهمی

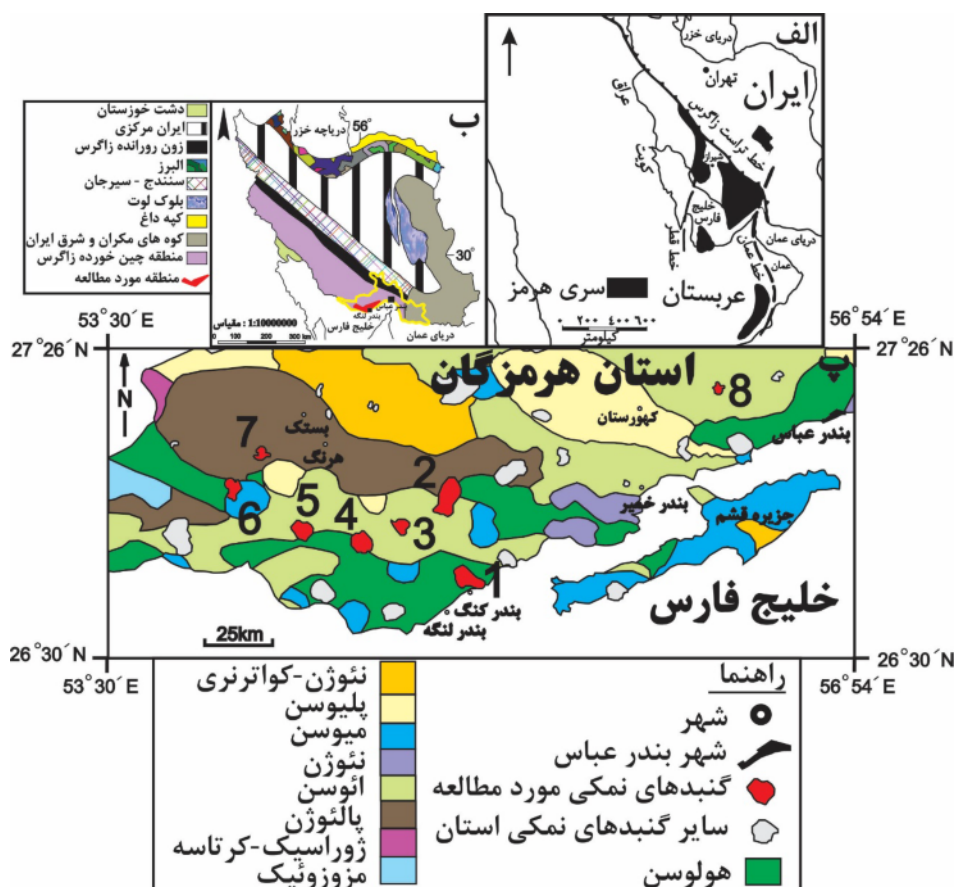
خلیج فارس و کوه‌های زاگرس (سازند هرمز)، عمان جنوبی (سازند آرا)، کرمان در ایران مرکزی (سازند راور) و استان سالت رینچ در پاکستان (سازند سالت رینچ)، طی اینفراکامبرین و کامبرین پیشین، همه مناطقی بوده‌اند که در آنها نمک در یک حوضه‌ی کافتی در خاورمیانه‌ی گندوانا رسوب‌گذاری کرده است [۱] (شکل ۱ الف). مجموعه‌ی سنگ‌های گنبدهای نمکی جنوب ایران، شامل نمک، مارن، ماسه

فرآیندهای بعدی تأثیرگزار بر آنها انجام می‌شود.

روش بررسی

از مجموعه‌ی گنبدهای نمکی سازند هرمز، دیابازهای موجود در ۸ گنبد نمکی بند معلم، زندان، چمپه، چاه مسلم، باوردان، داربست، گره و انگورو واقع در استان هرمزگان مورد بررسی قرار گرفتند (شکل ۱ ب)، که شیمی کانی دیابازهای گنبدهای نمکی زندان، بند معلم و باوردان بررسی و سن دیابازهای گنبدهای نمکی بند معلم و چمپه بررسی شدند. بررسی‌های میکروسکوپی بر ۳۴ مقطع نازک و ۴ مقطع صیقلی صورت گرفت. سپس تعداد ۱۱ نمونه از سنگ‌های دیابازی در آزمایشگاه شرکت تحقیقات و کانی‌شناسی و زمین‌شناسی کانائیزو واقع در شهرک پردیس تحقیقات رودهن با پراش سنج XRD (XRD) مدل PW1830 فیلیپس، بررسی شدند.

از این منطقه و از جمله رشته کوه زاگرس را تشکیل می‌دهند و سنگ‌های دیابازی، به نوبه‌ی خود، بخش بسیار مهم و قابل توجه این گنبدها را تشکیل می‌دهند. پژوهش‌های بسیاری پیرامون گنبدهای نمکی سازند هرمز انجام شده است (برای مثال، [۱۹-۵]) اما سنگ‌های دیابازی آن چندان بررسی نشده است. بررسی شیمی کانی‌های موجود در سنگ‌های دیابازی این مجموعه خاستگاه و شرایط تشکیل این سنگ‌ها را تا حدی مشخص کرده و سن سنجی این سنگ‌ها، روشن می‌کند که تشکیل آنها پیش، همزمان یا پس از تشکیل سازند هرمز بوده است. در این پژوهش، بررسی‌های صحرایی، سنگ‌نگاری مقاطع نازک و صیقلی، تحلیل طیف‌های پراش پرتوی X (XRD)، شیمی کانی و سن سنجی به روش U-Pb سنگ‌های دیابازی تعدادی از گنبدهای نمکی جنوب ایران (استان هرمزگان) برای شناخت شرایط، محیط و سن تشکیل و



شكل ۱ الف- موقعیت سازند هرمز در ایران و خاورمیانه. وضع رسوبات نمکی جنوب عمان- شمال کرمان دارای روند شمالی- جنوبی بوده و از جنوب عمان، ناحیه هائوشی-هاقف تا مرکز ایران کشیده شده است [۲۰]. **ب-** موقعیت استان هرمزگان در ایران و پهنه‌های ساختاری آن [۲۱]. **پ-** موقعیت گنبدهای نمکی مورد بررسی در جنوب ایران (استان هرمزگان). گنبدهای نمکی ۱: بند معلم، ۲: زندان، ۳: چمپه، ۴: چاه مسلم، ۵: باوردان، ۶: داریست، ۷: گزه و ۸: انگورو [۵].

در این استان، توالی‌های زیرساختی پرکامرین پسین - تریاس میانی دیده شده‌اند و ردیف‌های نمکی این مجموعه (سری نمکی هرمز) را می‌توان به صورت تعداد زیادی گنبد نمکی در شمال و غرب بندرعیاس مشاهده کرد. سایر واحدهای سنگ-شناختی دیده شده در این استان عبارتند از ردیف‌های کربناتی ژوراسیک کرتاسه پسین، توالی‌های همزمان کوهزائی سنوزوئیک دریائی یا غیردریائی، کربنات‌های زیرساختی ایوسن و اولیگو - میوسن (سازنهای جهرم و آسماری)، سنگ‌های میوسن (گروه فارس) شامل انباشت‌های گچی سازند گچساران، مارن‌های دریایی سازند میشان و انباشت‌های آواری قرمز رنگ سازند آغاجاری و انباشت‌های کنگلومرائی سازند بختیاری هستند (شکل ۱ پ [۲۲]). واحدهای سنگ‌شناختی دیده شده در گنبدهای نمکی مورد بررسی شامل لای سنگ، مارن‌های قرمزنگ، گچ و مارن سازند گچساران، کنگلومرای دوره حاضر، گچ و مارن‌های شیاردار، لایه‌های آهکی سنوزوئیک، آهک استروماتولیت‌دار، سنگ‌گچ با شکل انحلالی، نهشت‌های آذرآواری به شدت دگرسان یا دگرگون شده، سازند آسماری دارای نومولیت و جلبک، سنگ آهک یا ماسه سنگ، مارن تجزیه شده و دارای نمک فراوان، برش فروریزشی و سنگ‌های آذرین فلزی و مافیک هستند.

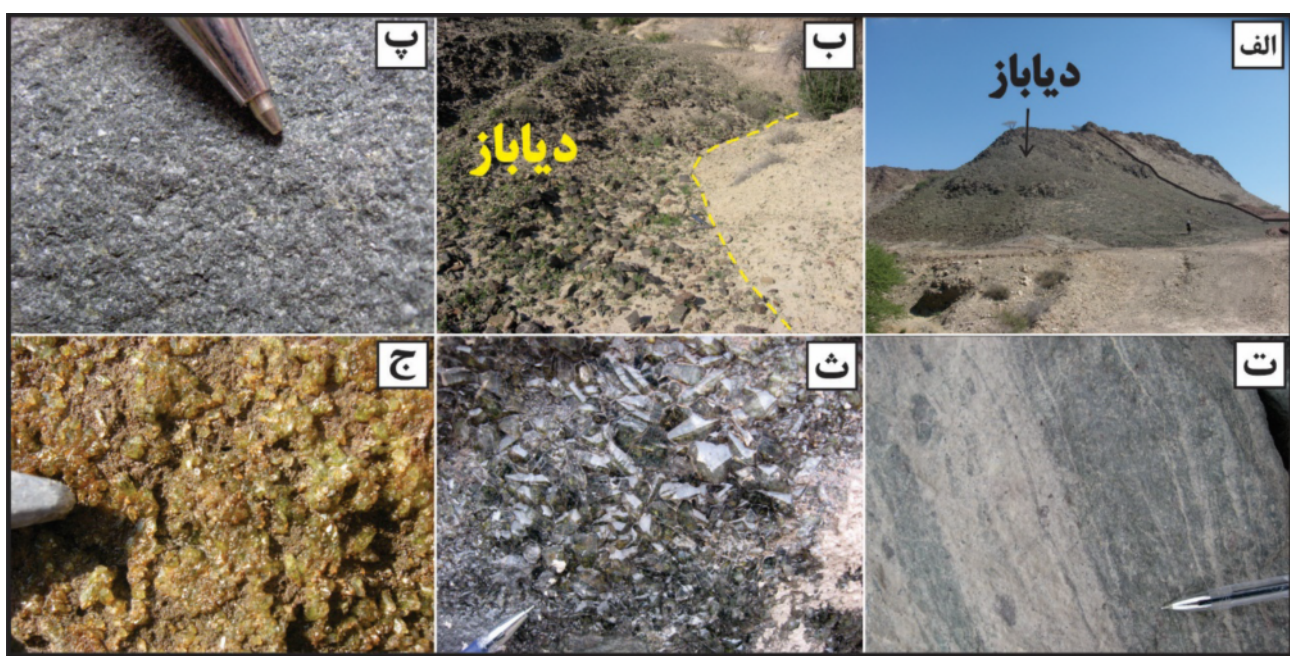
بررسی‌های صحرایی و سنگ‌نگاری

توده‌های دیبازی مورد بررسی در منطقه به صورت دایک یا استوک نفوذ کرده‌اند (شکل ۲ الف) و مرز آنها با سنگ‌های پیرامون بیشتر تیز تا کمی تدریجی است (شکل ۲ ب). این سنگ‌ها در صحراء، رنگ سبز تیره تا سبز روشن دارند. در نمونه‌ی دستی، دانه‌های بوده و در بردارنده کانی‌های اولیه‌ی پلازیوکلаз و پیروکسن و در بعضی مقاطع الیوین هستند. کانی‌های پیروکسن و الیوین، بیشتر به کانی‌های ثانویه‌ی آمفیبیول، کلریت و اپیدوت تبدیل شده‌اند (شکل ۲ پ). بافت‌های حفره‌ای و نواری در این سنگ‌ها دیده شده‌اند (شکل ۲ ت). در اثر فرآیندهای ثانویه، بوفور کانی‌های اولیه‌یست، کوارتز منشوری (شکل ۲ ث) و اپیدوت (شکل ۲ ج) و کمتر کلسیت لوزی رخ با رخ‌های کاملاً مشخص، در سطح این سنگ‌های دیبازی تشکیل شده‌اند. آثاری از مس و منگنز نیز در منطقه دیده شده است.

بررسی‌های شیمی کانی و تمهیه‌ی تصاویر الکترونی از کانی‌های موجود در سنگ‌های دیبازی مورد بررسی، بر روی ۴ مقطع نازک دوبرصیقل، در آزمایشگاه کانی‌شناسی مرکز تحقیقات فرآوری مواد معدنی ایران صورت گرفت. نمونه‌ها توسط ریزپردازشگر الکترونی (EPMA)، مدل، کامکا SX100، با ولتاژ ۱۵ کیلو الکترون ولت، با باریکه الکترونی به اندازه ۳-۵ میکرون، حد آشکارسازی ppm ۱۰۰ و جریان ۲۰ نانو آمپر تجزیه شدند.

برای تعیین سن به روش اورانیوم - سرب، تعداد ۳۰ زیرکن از نمونه‌ی دیبازی گنبد نمکی بند معلم و تعداد ۴۰ زیرکن از نمونه‌ی دیبازی گنبد نمکی چمپه استخراج شدند. تعیین سن بر پایه‌ی روش سایش لیزری با طیف‌سنجدی جرمی پلاسما (LA-ICPMS) انجام شد. جدایش زیرکن در شرکت زمین ریزکاوان در تهران و آماده‌سازی و تجزیه زیرکن‌ها در مرکز LaserChron در آریزونای آمریکا صورت گرفت. مراحل آماده‌سازی و جدایش بلورهای زیرکن موجود در نمونه‌های دیبازی مورد بررسی، شامل خردایش سنگ، شستشو (گل-شویی و لاوک‌شویی)، برموفرم‌گیری (مقایسه با مایعات سنگین) و جدایش مغناطیسی کانی‌ها با هدف جداسازی کانی‌های سبک از سنگین سپس، جدایش کانی‌های زیرکن از دیگر کانی‌های سنگین با استفاده از میکروسکوپ سه بعدی است. برای تمهیه قاب‌ها، بلورهای زیرکن انتخاب شده به همراه بلورهای زیرکن استاندارد FC, SL-F, SL-mix, R33 در قاب اپوکسی قرار داده شد. با استفاده از فرچه‌های ۹، ۵، ۳ و ۱ میکرون، قاب‌ها صیقل داده شده و توسط محلول HNO₃ و HCl شسته شدند تا هر گونه سرب معمولی باقی‌مانده از سطح آنها زدوده شود. برای بررسی بلورهای زیرکن و چگونگی ناحیه‌بندی آنها تصاویر کاتدولومینسالن (CL) توسط میکروسکوپ الکترونی روبشی (SEM) S-3400N (Gatan Chroma CL2) گرفته شد. در پایان، داده‌های ایزوتوبی توسط نرم‌افزار Isoplot پردازش و ترسیم شدند.

جاگاه و ویژگی‌های زمین‌شناسی منطقه مورد بررسی منطقه‌ی مورد بررسی، در جنوب ایران (استان هرمزگان) قرار دارد که بخشی از سیستم آلپ-هیمالیا [۵] و جزء پهنه ساختاری زاگرس چین‌خورده محسوب می‌شود (شکل ۱ پ).



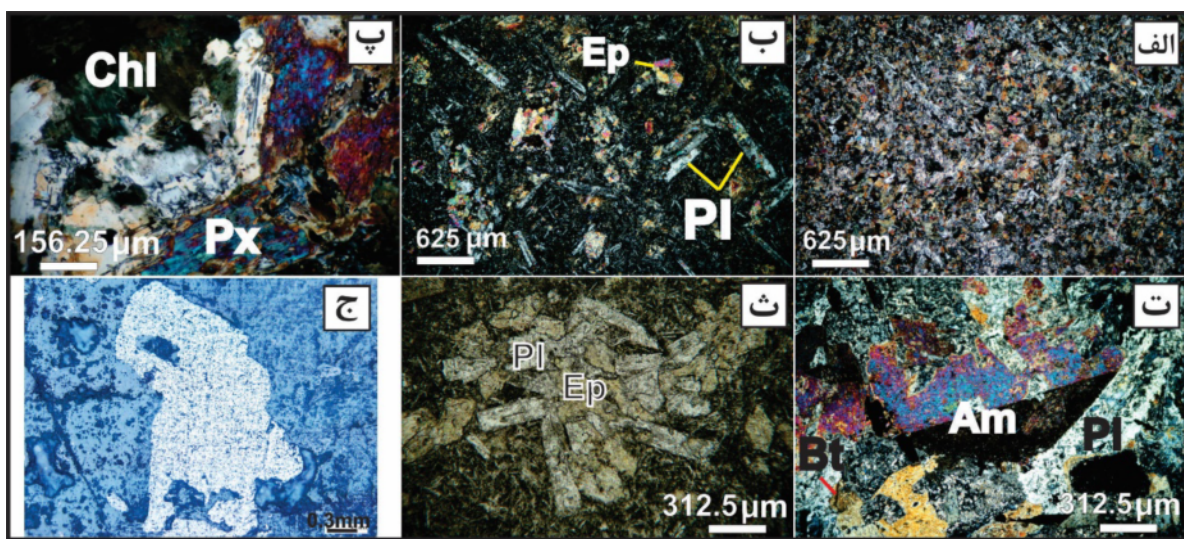
شکل ۲ تصاویری از سنگ‌های مافیک مورد بررسی و پدیده‌های در ارتباط با آنها در صحراء و در نمونه‌ی دستی. الف- توده‌های استوک مانند دیاباز. ب- دایک‌های دیابازی به طول ۱۰۰ متر نفوذ کرده در گنبدهای نمکی. ب- دیاباز دانه ریز در نمونه‌ی دستی. ت- بافت نواری دیاباز در نمونه‌ی دستی. ث- کوارتزهای کاملاً شکلدار لوزی رخ متبلور در سطح دیابازهای مورد بررسی. ج- اپیدوت که به وفور در سطح سنگ‌های دیاباز دیده می‌شود.

هستند که در بعضی از نمونه‌ها دیده می‌شوند. در مقاطع صیقلی مورد بررسی، کانی‌های مگنتیت، هماتیت، پیریت، اکسیدهای آهن و کانی‌های سیلیکاته (باطله) با مقدار حجمی، به ترتیب ۳۳، ۱۶، ۲، ۲ و ۴۴ درصد شناسایی شده‌اند و انواع بافت‌های جانشینی (شکل ۳ ج)، مانند بافت جانشینی شبکه‌ای، اسکلت مانند، دندانهای و سوزنی، بافت خورده‌گی و ماتیتیزاسیون را نشان می‌دهند.

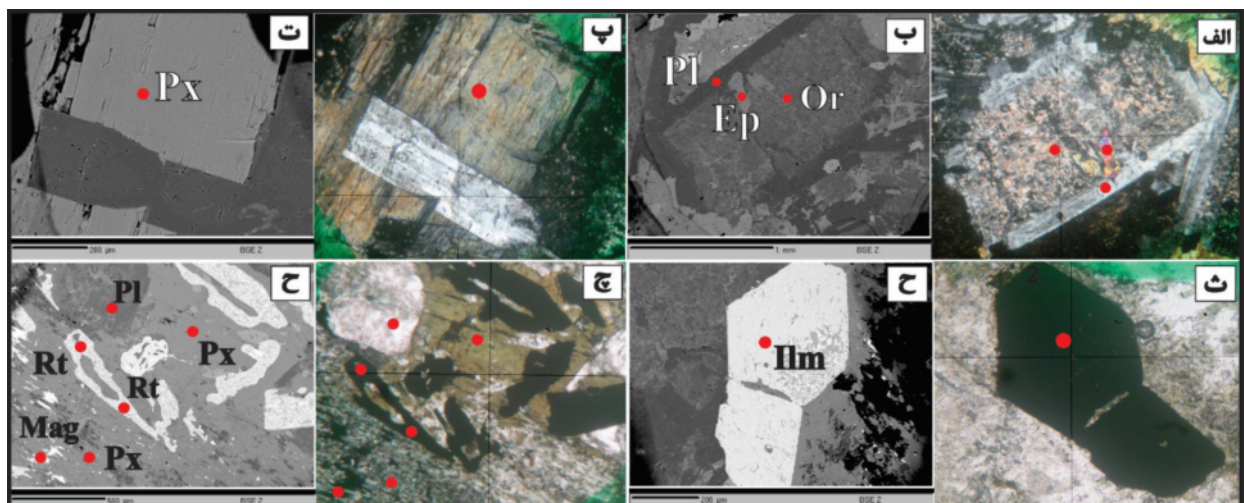
بحث و بررسی

بر اساس نتایج XRD سنگ‌های دیابازی مورد بررسی، کانی‌های کلریت (کلینوکلر)، کوارتز، الیگوکلаз، آمفیبول، پلازیوکلاز، پیریت، مگنتیت، میکا-ایلیت، کلسیت، پیروکسن، هماتیت، اپیدوت، آلبیت، ایلمنیت و گارنت هستند [۲۳] و بر اساس بررسی‌های ریزپردازشی کانی‌های قلیایی فلدسپات، اپیدوت، پلازیوکلاز فلدسپات، پیروکسن، آپاتیت، ایلمنیت، مگنتیت، روتیل، کلریت، اسفن، آمفیبول و پرهنیت شناسایی شده‌اند (شکل ۴) [۲۳].

با توجه به بررسی‌های سنگنگاری، کانی‌های اصلی این سنگ‌های دیابازی شامل پلازیوکلاز، پیروکسن و کمرالیوین (در انواع با بافت پورفیری) و کانی‌های فرعی آن، آپاتیت و اسفن هستند (شکل ۳ پ). این سنگ‌ها، دستخوش فرآیندهای گرمایی، دگرسانی و دگرگونی رخساره‌ی شیست سبز شده‌اند و در نتیجه، کانی‌های کوارتز، کلسیت، کانی‌های رسی، هورنبلند، اکتینولیت، کلریت، اپیدوت، اکسید آهن، رسیت، پالاگونیت، پمپلئیت، لوکوکسن، بیوتیت، زوئیسیت-کلینوزوئیسیت، آلبیت، الیگوکلاز، تورمالین خورشیدی، ادینگزیت و کانی‌های کدر به خرج کانی‌های اولیه‌ی سنگ، در آنها تشکیل شده‌اند (همه این کانی‌ها در یک مقطع وجود ندارند؛ شکل‌های ۳ ت و ث). این سنگ‌ها به انواع بافت دانه ریز (شکل ۳ الف) و بافت دانه متوسط تقسیم می‌شوند و بافت کلی آنها، بافت بلاستوفیتی، بلاستوپورفیری (شکل ۳ ب) و بلاستوآمیگدالی است. انواع بافت‌های خال خال، گلومروپورفیری و جریانی (در ریزسنگ‌های زمینه‌ی سنگ‌ها با بافت پورفیری) نیز انواع بافت‌های ماقمایی اولیه‌ی سنگ



شکل ۳ تصاویر سنگنگاری از سنگهای مافیک مورد بررسی. الف- بافت پورفیری یا بلاستپورفیری (xpl). پ- پیروکسن‌های نسبتاً سالم که در حال دگرسان شدن هستند در کنار کلریت‌های ثانویه (xpl). ت- آمفیبول‌ها کاملاً شکلدار و احتمالاً اولیه با مائل دوتایی و در حال تجزیه شدن به همراه آمفیبول هورنبلند و پلاژیوکلاز کاملاً دگرسان شد. مرکز کاملاً به کانی‌های ثانوی از جمله اپیدوت و کانی‌های کدر و کناره به آلبیت تبدیل شده است (xpl). ث- بافت گلومرپورفیری دربردارنده کانی‌های پلاژیوکلاز اولیه و اپیدوت ثانویه (xpl). ج- کانی‌سازی هماتیت و اکسیدهای آهن به صورت پرشوندگی در اثر دگرسانی (PPL).



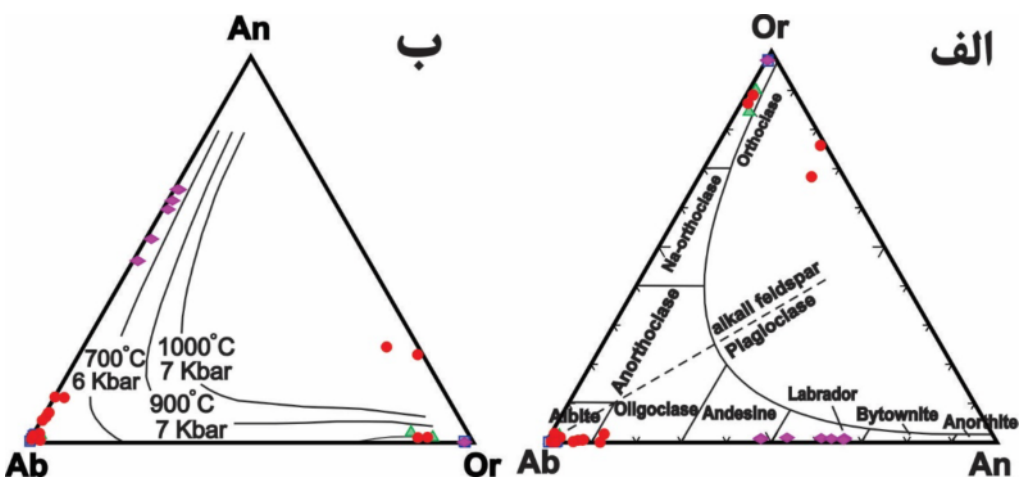
شکل ۴ تصاویر میکروسکوپ الکترونی به همراه تصاویر میکروسکوپی کانی‌های موجود در نمونه‌های دیابازی مورد بررسی از سازند هرمز واقع در جنوب ایران. الف، ب- پلاژیوکلاز با کناره سالم و مرکز تجزیه شده به کانی‌های ثانویه ای اپیدوت و ارتوز. پ، ت- پیروکسن سالم. ث، ج- ایلمینیت خودشکل. چ- بافت پوست ماری شامل پلاژیوکلاز و پیروکسن به همراه روتیل و مگنتیت. نقاط قرمز رنگ مکان‌های تجزیه شده را نشان می‌دهند. عالمیم به کار رفته عبارتند از Px: پیروکسن، Pl: پلاژیوکلاز، Or: ارتوکلاز، Ep: اپیدوت، Mag: مگنتیت، Ilm: ایلمینیت و Rt: روتیل.

۹۹ متغیر است. براساس نمودار مثلثی Ab-An-Or (شکل ۵ الف) [۲۴]، نتایج ۲۲ تجزیه پلاژیوکلاز فلدسپات‌های موجود در دیابازهای سازند هرمز ترکیبات پراکنده‌ای بین لابرادوریت-آنزین و آلبیت-الیگوکلاز را نشان می‌دهند، اما بطور کلی آلبیت و لابرادوریت هستند (جدول ۱). مقادیر بالاتر آلبیت

feldspats‌های قلیایی به صورت درشت بلورهای فرعی و فازهای بین دانه‌ای در سنگهای مورد بررسی رخ می‌دهند. پلاژیوکلاز فلدسپات‌ها بصورت درشت بلور و ریزدرشت بلور در این سنگ‌ها بسیار فراوان هستند. مقدار آنورتیت پلاژیوکلاز فلدسپات‌ها، از ۴۷ تا ۶۶ An و مقدار آلبیت آنها از ۴۶ تا

ها دچار بازتبلور شده‌اند و این دما، دمای باز تبلور آنهاست. البته از شواهد سنگنگاری، کاملاً مشخص است که این کانی در سنگ دیابازی اولیه، جزء کانی‌های ماقمایی بوده است اما ترکیب آن می‌توانست متفاوت باشد. ارتوکلازهای مورد بررسی، به دو گروه تفکیک می‌شوند: ۱) آنهایی که در دمای ۷۰۰ درجه‌ی سانتی‌گراد و فشار ۶ کیلوبار؛ و یا ۲) در دمای بیشتر از ۱۰۰۰ درجه‌ی سانتی‌گراد و فشار بیشتر از ۷ کیلوبار متبلور شده‌اند که نشان دهنده‌ی دمای ماقمایی این کانی‌ها و ماقمایی بودن آنهاست. کانی‌های آلبیت در دمای کمتر از ۷۰۰ درجه‌ی سانتی‌گراد و فشار کمتر از ۶ کیلوبار متبلور شده‌اند که دمای باز تبلور آنها در شرایط ثانویه است.

(< ۹۸ درصد) در پلازیوکلاز فلدسپات‌ها، می‌تواند نشان دهنده این باشد که این کانی‌ها دستخوش دگرسانی سدیم شده‌اند که احتمالاً مربوط به انحلال توده‌های بزرگ نمکی موجود در این دیابازهای [۲۵]. فلدسپات‌های قلیایی در سنگ‌های دیابازی سازند هرمز معمول هستند و ترکیب آنها در گستره Or ۰,۷/۰-۰,۱/۰ و An صفر تا ۰,۱/۰ و صفر تا ۰,۲/۰ قرار دارد (جدول ۲) و بر اساس نمودار مثلثی Ab-An-Or (شکل ۵ الف)، بیشتر آنها ارتوکلاز و تعدادی آلبیت هستند. بر اساس نمودار An-Or-Ab (شکل ۵ ب) [۲۶]، پلازیوکلاز فلدسپات‌های مورد بررسی سازند هرمز، در دمای کمتر از ۷۰۰ درجه‌ی سانتی‌گراد و فشار کمتر از ۶ کیلوبار متبلور شده‌اند. این دما نشان می‌دهد که این کانی‌ها ماقمایی نیستند و در شرایط ثانویه حاکم بر این سنگ-



شکل ۵ الف- نمودار طبقه‌بندی فلدسپات‌ها [۲۴]. ب- دما‌سنجی فلدسپات‌های موجود در دیابازهای مورد بررسی سازند هرمز بر اساس نمودار An-Or-Ab (P=6-7 kb) [۲۶]. علامه به کار رفته عبارتند از دایره: دیابازهای گنبد نمکی باوردا؛ لوزی: دیابازهای توده‌ی ۴ گنبد نمکی بند معلم؛ مثلث: دیابازهای توده‌ی ۱ گنبد نمکی بند معلم؛ مریع: دیابازهای نایرجای گنبد نمکی زندان.

جدول ۱ گزیده‌ای از نتایج تجزیه ریزپردازش کانی‌های پلازیوکلاز فلدسپات موجود در دیابازهای مورد بررسی سازند هرمز.

نمونه	SiO ₂	Al ₂ O ₃	CaO	Na ₂ O	K ₂ O	Si	Al	Ca	Na	K	An	Ab	Or
PO-1-1	۶۷,۵۶	۲۰,۵۶	۰,۴۲	۱۱,۳	۰,۳۳	۲,۹۳۱	۱,۰۵۱	۰,۰۲	۰,۹۵۲	۰,۰۱۸	۲,۰۲	۹۶,۱۶	۱,۸۲
P3-L-2-2	۶۷,۲۱	۲۱,۱۷	۰,۴۸	۱۱,۳	۰,۰۷	۲,۹۲۳	۱,۰۸۵	۰,۰۲۲	۰,۹۵	۰,۰۰۴	۲,۲۵	۹۷,۳۴	۰,۴۱
PO-4-2	۵۶,۱۲	۲۸,۸۳	۱۰,۱۳	۴,۸۸	۰,۲۱	۲,۵۲۳	۱,۵۲۷	۰,۴۸۸	۰,۴۲۵	۰,۰۱۲	۵۲,۷۶	۴۵,۹۵	۱,۳
C2-3-4	۶۷,۶۹	۲۰,۳۳	۰,۲۱	۱۱,۲۲	۰,۰۵	۲,۹۷۶	۱,۰۵۳	۰,۰۱	۰,۹۵۶	۰,۰۰۳	۱,۰۳۲	۹۸,۶۶	۰,۳۱

جدول ۲ گزیده‌ای از نتایج تجزیه ریزپردازش کانی‌های قلیایی فلدسپات موجود در دیابازهای مورد بررسی.

نمونه	SiO ₂	Al ₂ O ₃	CaO	Na ₂ O	K ₂ O	Si	Al	Na	K	An	Ab	Or
PO-1-1	۵۲,۳۶	۲۹,۶۴	۰,۲۳	۰,۷۲	۱۱,۷۲	۲,۳۸۸	۱,۵۹۳	۰,۰۶۴	۰,۶۸۲	۰,۰۱۴	۰,۰۸۴	۰,۹۰
P3-L-2-2	۶۵,۲۵	۲۰,۰۹	۰,۰۴	۰,۱۹	۱۵,۲	۲,۹۹۸	۱,۰۸۸	۰,۰۱۷	۰,۸۹۱	۰,۰۰۲	۰,۰۱۹	۰,۹۸
PO-4-2	۶۴,۲۷	۲۰,۶۵	۰,۰۴	۰,۲	۱۵,۱۲	۹,۹۶۲	۱,۱۲۲	۰,۰۱۸	۰,۸۸۹	۰,۰۰۲	۰,۰۲	۰,۹۷۸
C2-3-4	۶۶,۱۲	۱۸,۲۶	۰,۱۳	۰	۱۵,۴۹	۳,۰۵۱	۰,۹۹۳	۰	۰,۹۱۲	۰,۰۰۶	۰	۰,۹۹۴

دگرسانی گرمابی [۲۵,۵] توسط سیال‌های گرمابی با خاستگاه رسوی [۲۵]، طی تشكیل این توده‌ها باشد. پورکاپ و همکاران [۱۹]، دگرسانی اپیدوتی‌شدن و کلریتی‌شدن را از دگرسانی‌های عمدی سنگ‌های آذرین و اکسیدهای آهن در گنبدهای نمکی جهانی (فیروزآباد) دانسته‌اند. از آنجاکه کانی‌های ثانویه، مانند کوارتز، کلسیت، الیزیت و مس خالص در سطح سنگ‌های مورد بررسی بوفور تشكیل شده‌اند، حضور و فعالیت سیال یا سیال‌های مسئول تشكیل این عناصر را ثابت می‌کند. البته دو نظریه برای چنین کانی‌زایی‌هایی وجود دارد: ۱) حضور و فعالیت سیال‌های گرمابی یا ۲) دگرگونی هم‌شیمی سنگ‌های دیبازی که باعث تغییر کانی‌ها شده است. تشكیل کانی‌های دگرسانی دما-پایین، مانند کلریت، کوارتز، کلسیت و اپیدوت، در سطح سنگ‌های دیبازی منطقه (شکل ۲) نشان می‌دهد که این سنگ‌ها دستخوش یک مرحله‌ی دگرسانی دما-پایین شده‌اند.

بر اساس شواهد صحرایی و سنگ‌نگاری، سنگ‌های دیبازی مورد بررسی دچار دگرگونی گرمابی در حد رخساره‌ی شیست سبز شده‌اند. بیشتر تغییرات کانی‌شناسی در دگرگونی گرمابی سنگ‌های آذرین، پسرونده بوده و اغلب شامل جایگزینی کانی‌های سیلیکاته‌ی بدون آب توسط کانی‌های سیلیکاته‌ی آبار هستند [۳۲]. حضور کانی‌های کلریت، آلبیت و کوارتز نشان دهنده‌ی دگرگونی در حد رخساره‌ی شیست سبز وجود مجموعه‌ی شاخص آمفیبول و اپیدوت در سنگ‌های دیبازی مورد بررسی نشان دهنده‌ی انتقال از رخساره‌ی شیست سبز به آمفیبولیت این سنگ‌هاست [۳۳]. با این وجود، فراوانی قابل ملاحظه‌ی مودال کانی‌های سبز، مانند کلریت، اکتینولیت، اپیدوت در سنگ‌های مورد بررسی که علت رنگ سبز آنهاست، به همراه آلبیت \pm کوارتز، نشان دهنده‌ی دگرگونی آنها بیشتر در رخساره‌ی شیست سبز است [۳۳]. از آنجاکه کلسیت در سنگ‌های دیبازی مورد بررسی نسبتاً فراوان است، می‌توان نتیجه گرفت که سیال‌های آبار غنی از CO_2 نقش قابل توجهی در دگرگونی این سنگ‌ها داشته‌اند و برهم‌کنش سنگ‌سیال نیز به طور طبیعی باعث باز توزیع گسترده‌ی عناصر شیمیایی می‌شود [۳۳].

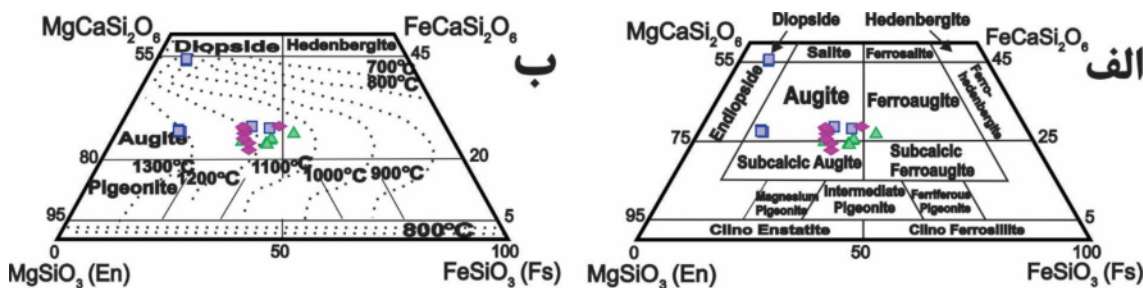
تجزیه ریزپردازش ۲۱ کلینوپیروکسن موجود در دیبازهای سازند هرمز نشان داد که ترکیب شیمیایی آنها از $En_{33.8}$ تا $Fs_{58.9}$ ، $Wo_{6/3}$ تا $Wo_{45.8}$ و $Wo-En-Fs$ (شکل ۶ الف) [۲۷]. این کانی‌ها اوژیت و دیوپسید بوده که دارای $Mg\#_{46.2}$ تا $Mg\#_{61.7}$ برای اوژیت و $Mg\#_{80.4}$ تا $Mg\#_{88.4}$ برای دیوپسید هستند. مقدار TiO_2 در کلینوپیروکسن‌ها، از صفر تا 1.8 درصد وزنی است که با مقدار Al_2O_3 از 0.04 تا 0.87 هم‌خوانی دارد (جدول ۳). با توجه به نمودار $Wo-En-Fs$ (شکل ۶ ب) [۲۸]، گستره دمایی 1100 تا 1300 درجه سانتی‌گراد، برای کلینوپیروکسن‌های مورد بررسی بدست آمده که نشان دهنده‌ی ماقمایی بودن این کانی‌هاست.

مقدادر Ti و Al در پیروکسن‌های قلیایی، بالاتر از پیروکسن‌های تولئیتی هستند [۲۵]. این پیروکسن‌ها در نمودار SiO_2 در مقابل Al_2O_3 (شکل ۷ الف) [۲۹]، بیشتر در گستره پیروکسن‌های نیمه قلیایی و تعدادی در گستره قلیایی قرار می‌گیرند و با افزایش SiO_2 Al_2O_3 کاهش می‌یابد که این امر، احتمالاً زمانی رخ داده است که مقدار Al_2O_3 هم‌آرایی‌های چاروچه‌ی را طی جدایش ماقمای تولئیتی تولید کرده است [۲۵]. در نمودار $F1-F2$ (شکل ۷ ب) [۳۰]، پیروکسن‌های مورد بررسی، بیشتر در گستره بازالت‌های تولئیتی درون صفحه‌ای یا بازالت‌های کف اقیانوسی قرار می‌گیرند. هنگامی که گدازه مادر اکسید شده باشد، مقدار Fe^{2+} کاهش و مقدار Fe^{3+} افزایش می‌یابد [۳۱]، در نتیجه، در نمودار FeO_{total} در پلازیوکلاز فلدسپات نسبت به FeO_{total} در کلینوپیروکسن (شکل ۷ ب) [۳۱]، کل در کلینوپیروکسن کاهش و در پلازیوکلاز فلدسپات افزایش می‌یابد که نشان دهنده‌ی اکسید شدن گدازه مادر این کانی‌هاست.

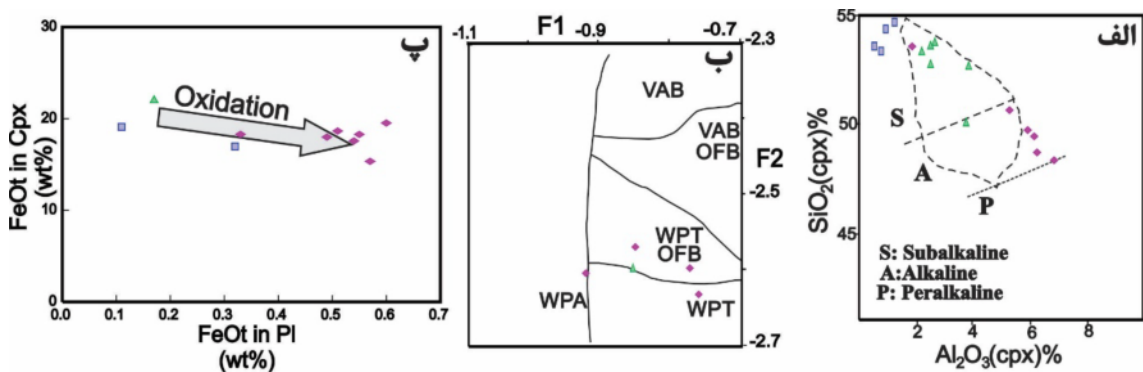
بر اساس شواهد صحرایی و سنگ‌نگاری، سنگ‌های دیبازی مورد بررسی، دستخوش دگرسانی و دگرگونی شده‌اند. سنگ‌های دیبازی مورد بررسی، دچار فرآیندهای دگرسانی از جمله اپیدوتی‌شدن، زوئیسیتی‌شدن، کلریتی‌شدن، اورالیتی‌شدن، آلبیتی‌شدن و کربناتی‌شدن شده‌اند که می‌تواند در اثر فرآیندهای دگرنهادی نفوذی [۵]، فعالیت آب دریا یا شوراب-های داغ در حال چرخش در این گنبدهای نمکی [۲۵] و

جدول ۳ گزیده‌ای از نتایج تجزیه ریزپردازش کانی‌های پیروکسن موجود در دیابازهای مورد بررسی.

نمونه	SiO ₂	FeO	MgO	CaO	Si	Di	Wo	En	Fs	Mg#
PO-1-1	52,56	19,69	12,55	10,94	2,029	53,17	25,01	39,87	35,12	53,17
P3-L-2	57,29	8,82	20,29	13,19	2,083	80,41	27,31	58,45	14,24	80,41
P3-L-2-2	54,67	16,97	13,72	12,99	2,08	59,03	28,64	42,12	29,24	59,03
PO-4-2	47,86	18	12,31	10,29	1,81	61,09	26,85	44,69	28,46	61,09



شکل ۶ الف- تغییرات ترکیبی کلینوپیروکسن‌های موجود در دیابازهای گنبدهای نمکی مورد بررسی که بر نمودار مثلثی Wo–En–Fs پیروکسن رسم شده‌اند [۲۷]. الف: فروسیلیت، En: ولستونیت، Wo: انستابیت. ب- نمونه‌ی تصویری از روابط پیروکسن‌ها در چهارضلعی Di–En–Hd–Fs که مجموعه‌های پیروکسن استفاده شده برای زمین‌دماستجی نشان می‌دهد [۲۸]. علامت به کار رفته مشابه شکل ۵ هستند.



شکل ۷ الف- نمودار SiO₂ نسبت به Al₂O₃ برای کلینوپیروکسن‌های موجود در دیابازهای سازند هرمز مورد بررسی [۲۹] ب- نمودار F1–F2 [۳۰] برای کلینوپیروکسن‌های مورد بررسی. VAB: بازالت‌های قوس آتش‌فشانی؛ OFB: بازالت‌های کف افیانوسی؛ WPT: بازالت‌های توکیتی درون صفحه‌ای؛ WPA: بازالت‌های قلیایی درون صفحه‌ای. پ- نمودار FeO_{total} در پلازیوکلаз نسبت به FeO_{total} در کلینوپیروکسن [۳۱] موجود در سنگ‌های دیابازی مورد بررسی. Cpx: کلینوپیروکسن، Pl: پلازیوکلاز. علامت به کار رفته مشابه شکل ۵ هستند.

قلیایی، آپاتیت، روتیل، مگنتیت و پیریت جزء کانی‌های ماغمایی و اولیه‌ی سنگ محسوب می‌شوند و سایر کانی‌ها پیامد تجزیه و تبدیل کانی‌های اولیه در اثر واکنش با سیال‌های گرمابی و دگرسانی و دگرگونی گرمایی در رخساره‌ی شیست سبز تا اوایل رخساره‌ی آمفیبولیت بوجود آمده‌اند (شکل ۸).

با توجه به بررسی‌های صحرایی، سنگنگاری، نتایج XRD، شیمی کانی‌های ماغمایی اولیه، کانی‌های حاصل از فرآیندهای ثانویه‌ی دگرسانی و گرمابی به همراه دگرگونی موجود در سنگ‌های دیابازی مورد بررسی، همبربزایی‌های احتمالی موجود در این سنگ‌ها در شکل ۸ نشان داده شده‌اند. در این شکل، کانی‌های پلازیوکلاز فلدسپات، پیروکسن، الیوین، فلدسپات

کانی‌ها	ماگمایی	دگرسانی و هیدرولیک	دگرگونی رخساره شیست‌سیز	دگرگونی رخساره اپیدوت-امفیبیولیت	دگرگونی رخساره امفیبیولیت
لایپارادوریت					
دیوپسید					
اوژیت					
البین					
البیت					
الیگوکلاز					
ارتوكلاز					
اکنیتولیت					
هورنبلند					
اپیدوت		- - -			
زوئیت و کلینوزوئیت		- - -			
ریبیدولیت					
کلینوکار					
گارنت					
کلسوت		- - -			
کوارتز		- - -			
مگنتیت		- - -			
هماتیت		- - -			
پیریت		- - -			
ایلامتیت					
توتاپاتیت		- - -			
بیروتیت			-		
آپاتیت		- - -			
روتیل					
تومالین					
پرہنیت					
کانیهای رسی					

شکل ۸ همبازایی‌های احتمالی کانی‌های موجود در سنگ‌های دیبازی مورد بررسی در سازند هرمز که دستخوش فرآیندهای ثانویه (دگرسانی و گرمابی) و دگرگونی گرمایی شده‌اند.

از مجموعه‌ی ۱۶ دانه زیرکن مورد بررسی گنبد نمکی بند معلم (جدول ۴)، و ۲۰ دانه زیرکن گنبد نمکی چمپه (جدول ۵)، به ترتیب سن‌های $6/4 \pm 539/4$ میلیون سال پیش (شکل ۹ الف و ب) سن $543/5 \pm 6/1$ میلیون سال پیش (شکل‌های ۹ پ و ت) بدست آمد.

بررسی‌های فرامرزی و همکاران [۴] بر زیرکن‌های موجود در ریولیت‌های جزیره‌ی هرمز نشان داد که پی‌سنگ ماگمایی در این منطقه، در نئوپروتروزوزوئیک تا کامبرین پیشین سخت و محکم شده است. سن‌های بدست آمده برای زیرکن‌های موجود در سنگ‌های دیبازی مورد بررسی نشان دهنده‌ی سن تبلور، تشکیل و نفوذ این سنگ‌ها، در کامبرین پیشین هستند. در نتیجه، این توده‌های نفوذی می‌توانستند همزمان و/یا پس از شروع کافت‌شدگی نئوپروتروزوزوئیک تا کامبرین پیشین بخش

با توجه به تصاویر نورافشانی کاتدی، زیرکن‌های تجزیه شده‌ی گنبد نمکی بند معلم به صورت خودشکل تا نیمه شکلدار دیده می‌شوند، ناحیه‌بندی در آنها بسیار رایج است و طول آنها ۲۹۶ تا ۸۸ میکرومتر است. زیرکن‌های تجزیه شده‌ی گنبد نمکی چمپه به صورت خودشکل تا بی‌شکل دیده می‌شوند، ناحیه‌بندی در آنها نسبت به نمونه‌ی بند معلم کمتر است و طول آنها ۴۷ تا ۴۹۵ میکرومتر است. نسبت U/Th در نمونه‌های زیرکن مورد بررسی، در هر دو نمونه بالاست ($0/16$) تا $0/4$ برای نمونه‌ی مورد بررسی، در هر دو نمونه بالاست ($0/16$) تا $0/4$ برای نمونه‌ی مورد بررسی گنبد نمکی بند معلم و $0/4$ تا $0/3$ برای نمونه‌ی مورد بررسی چمپه؛ جدول‌های ۴ و ۵ که به همراه ناحیه‌بندی در آنها نشان دهنده‌ی خاستگاه ماگمایی بیشتر این زیرکن‌هast [۴، ۳۴]. با توجه به نمودارهای $U/238\text{Pb}^{206}$ و $U/235\text{Pb}^{207}$ نسبت به میانگین وزنی (شکل ۹)،

سن‌های 0.78 ± 0.61 و 3.961 ± 2.2 میلیون سال پیش را نشان می‌دهند (جدول‌های ۴، ۵ و شکل ۹) که می‌توانند زیرکن‌هایی باشند که زمان پالئوزن-نئوزن در این سنگ‌ها به دام افتاده‌اند.

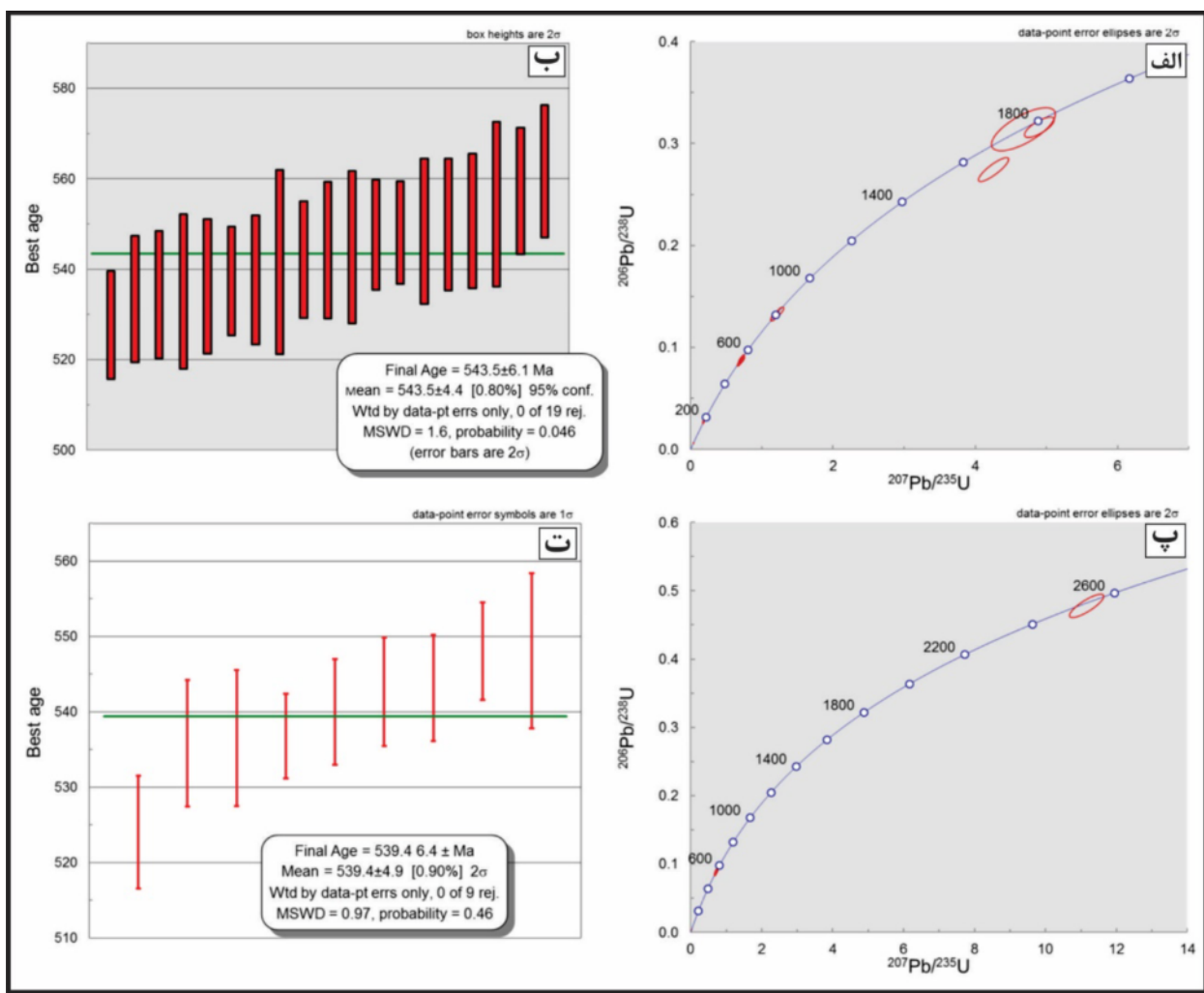
شمالی صفحه‌ی عربستان و رسوب‌گذاری سازند هرمز در حوضه‌ی خلیج فارس تشکیل شده باشند. دو نمونه از زیرکن‌های گنبد نمکی بند معلم (PO-1-23 و PO-1-30) و یک نمونه از زیرکن‌های گنبد نمکی چمپه (CH-3-45)، به ترتیب،

جدول ۴ نتایج سن‌سنجی نمونه‌ی دیابازی گنبد نمکی بند معلم به روش U-Pb.

آنالیزها	Th/U	نسبت‌های ایزوتوپی					سن مشخص (Ma)					بهترین سن (Ma)
		$^{207}\text{Pb}/^{235}\text{U}$	\pm (%)	$^{206}\text{Pb}/^{238}\text{U}$	\pm (%)	خطا تحصیل	$^{206}\text{Pb}/^{238}\text{U}$	\pm (Ma)	$^{207}\text{Pb}/^{235}\text{U}$	\pm (Ma)	خطا تحصیل	
PO-1-31	0.16129	0.1769	1.8	0.0259	1.4	0.8	165	2.3	165.4	2.7	165	
PO-1-18 r	0.3125	0.1802	2.4	0.0272	1.5	0.63	173	2.6	168.3	3.7	173	
PO-1-12	0.90909	0.6869	1.8	0.0847	1.5	0.81	524	7.5	530.9	7.5	524	
PO-1-17	2.5	0.7052	2	0.0867	1.6	0.8	535.8	8.4	541.9	8.6	535.8	
PO-1-29	2	0.6977	1.9	0.0868	1.7	0.9	536.5	9	537.4	8.1	536.5	
PO-1-16	1.42857	0.7012	1.6	0.0868	1.1	0.69	536.7	5.6	539.5	6.6	536.7	
PO-1-33	1.66667	0.7119	1.7	0.0874	1.4	0.78	540	7	9.545	7.3	540	
PO-1-24	3.33333	0.7226	1.8	0.0878	1.4	0.79	542.6	7.2	554.2	7.5	542.6	
PO-1-14	0.42857	0.7043	1.7	0.0879	1.4	0.78	543.1	7.1	541.4	7.3	543.1	
PO-1-5	2	0.7132	1.6	0.0887	1.2	0.77	548.1	6.5	546.7	6.8	548.1	
PO-1-7	1.11111	0.7161	2.2	0.0887	2	0.88	548.1	10.3	548.3	9.4	548.1	
PO-1-10	0.58824	1.1813	1.9	0.1308	1.5	0.78	792.3	11.3	791.9	10.7	792.3	
PO-1-32	0.76923	1.2545	1.7	0.1354	1.3	0.72	818.8	9.7	825.4	9.8	818.8	
PO-1-20	0.47619	4.6767	3.9	0.3141	2.7	0.7	1760.7	42.3	1783.1	32.8	1786.7	
PO-1-13	0.12987	4.2563	2	0.2745	1.7	0.86	1563.7	24.2	1685	16.8	1840.1	
PO-1-22	0.45455	4.9005	1.7	0.3161	1.3	0.74	1770.4	20	180.23	14.7	1840.1	
PO-1-30	0.90909	0.0405	2.9	0.0061	1.7	0.57	39.5	0.7	40.3	1.2	39.5	
PO-1-23	0.90909	0.0395	2.8	0.0062	1.1	0.37	39.7	0.4	39.4	1.1	39.7	

جدول ۵ نتایج سن‌سنجی نمونه‌ی دیابازی گنبد نمکی چمپه به روش U-Pb.

آنالیزها	Th/U	نسبت‌های ایزوتوپی					سن مشخص (Ma)					بهترین سن (Ma)
		$^{207}\text{Pb}/^{235}\text{U}^x$	\pm (%)	$^{206}\text{Pb}/^{238}\text{U}^x$	\pm (%)	خطا تحصیل	$^{206}\text{Pb}/^{238}\text{U}^x$	\pm (Ma)	$^{207}\text{Pb}/^{235}\text{U}$	\pm (Ma)	خطا تحصیل	
CH-3-51	1.66667	0.6912	1.6	0.0853	1.2	0.75	527.8	6	533.5	6.5	527.8	
CH-3-48	2	0.7009	1.7	0.0883	1.4	0.82	533.5	7	539.3	6.9	533.5	
CH-3-57 r	3.33333	0.6964	1.7	0.0884	1.4	0.80	534.5	7	536.6	7.2	534.5	
CH-3-43	1.66667	0.6992	1.9	0.0866	1.7	0.86	535.2	8.5	538.3	8.1	535.2	
CH-3-56 c	2.5	0.6979	1.8	0.0868	1.4	0.79	526.2	7.4	537.5	7.6	536.3	
CH-3-40	1.66667	0.6991	1.5	0.0870	1.2	0.80	527.5	6	538.2	6.1	537.5	
CH-3-55 r	1.66667	0.7015	1.8	0.0870	1.4	0.77	527.7	7.1	539.7	7.5	537.7	
CH-3-49	3.33333	0.7079	2.3	0.0877	2	0.87	541.7	10.2	543.5	9.5	541.7	
CH-3-44	1.42857	0.7096	1.7	0.0878	1.2	0.75	542.2	6.5	544.5	7	542.2	
CH-3-60	2.5	0.7103	1.8	0.0881	1.5	0.83	544.3	7.6	544.9	7.4	544.3	
CH-3-37 r	1.66667	0.7203	1.9	0.0882	1.6	0.84	545	8.4	550.9	8.2	545	
CH-3-53	2	0.7167	1.7	0.0887	1.2	0.89	547.7	6.1	548.7	7	547.7	
CH-3-39	1	0.7140	1.6	0.0888	1.1	0.87	548.2	5.7	547.1	6.7	548.2	
CH-3-52	1.25	0.7174	2	0.0888	1.5	0.75	548.5	8.1	549.1	8.6	548.5	
CH-3-50 r	1.11111	0.7172	1.9	0.0891	1.4	0.73	550	7.3	549	8.1	550	
CH-3-41	1.66667	0.7205	1.7	0.0892	1.4	0.84	550.8	7.4	551	7.1	550.8	
CH-3-58	0.71429	0.7220	2.3	0.0898	1.7	0.74	554.5	9.1	551.9	9.9	554.5	
CH-3-36 c	2.5	0.7400	1.7	0.0903	1.3	0.78	557.4	7	562.4	7.3	557.4	
CH-3-46	1.42857	0.7367	1.9	0.0910	1.4	0.72	561.7	7.3	560.5	8.1	561.7	
CH-3-42	0.41667	11.1587	1.8	0.4779	1.5	0.83	2518.1	30.4	2536.5	16.5	2551.9	
CH-3-45	0.71429	0.0190	4.3	0.0024	1.8	0.42	221	0.4	19.1	0.8	22.1	



شکل ۹ نتایج تعیین سن سنگ‌های دیبازی مورد بررسی سازند هرمز به روش اورانیوم - سرب. الف- نمودار $\text{U}^{206}\text{Pb}/\text{U}^{238}$ نسبت به $\text{U}^{207}\text{Pb}/\text{U}^{235}$ برای نمونه‌ی دیبازی گنبد نمکی بند معلم. ب- نمودار میانگین وزنی برای سن‌های بدست آمده از نمونه‌ی دیبازی گنبد نمکی بند معلم. پ- نمودار $\text{U}^{206}\text{Pb}/\text{U}^{238}$ نسبت به $\text{U}^{207}\text{Pb}/\text{U}^{235}$ برای نمونه‌ی دیبازی گنبد نمکی چمپه. ت- نمودار میانگین وزنی برای سن‌های بدست آمده از نمونه‌ی دیبازی گنبد نمکی چمپه.

دیبازهای سازند هرمز، ترکیبات کلی لابرادوریت، آلبیت و ارتوکلاز را نشان می‌دهد. لابرادوریت و آلبیت در دمای کمتر از ۷۰۰ درجه‌ی سانتی‌گراد و فشار کمتر از ۶ کیلوبار متبلور شده‌اند که نشان می‌دهد که این کانی‌ها ماقمایی نیستند و این دما، دمای بازتابلور آنهاست. ارتوکلازها به دو گروه تفکیک می‌شوند: آنها یکی که ۱) در دمای ۷۰۰ درجه‌ی سانتی‌گراد و فشار ۶ کیلوبار و ۲) در دمای بیش از ۱۰۰۰ درجه‌ی سانتی‌گراد و فشار بیشتر از ۷ کیلوبار متبلور شده‌اند. این دماها، نشان دهنده‌ی ماقمایی بودن این کانی‌هاست. کلینوپیروکسن‌های موجود در

برداشت
با توجه به بررسی‌های سنگنگاری و تجزیه‌های XRD و ریزپردازش، کانی‌های اصلی سنگ‌های دیبازی مورد بررسی شامل پلازیوکلاز، پیروکسن و کمتر الیوین بوده که اغلب به کانی‌های ثانویه، شامل اپیدوت، هورنبلند، اکتینولیت، پاتاسیم فلدسپات، آلبیت، کلریت، کوارتز، کلسیت، اکسید آهن، کانی‌های رسی، گارنت، پالاگونیت، پمپلئیت، لوکوکسن، تیتانیت، پرهنیت، بیوتیت، زوئیسیت-کلینوزوئیسیت، هماتیت، ایلمنیت و ادینگزیت تبدیل شده‌اند. تجزیه فلدسپات‌های موجود در

کافت‌شدگی نئوپروتزوژئیک تا کامبرین پیشین بخش شمالی صفحه‌ی عربستان و رسوب‌گذاری سازند هرمز در حوضه‌ی خلیج فارس تشکیل شده باشند. تعدادی از زیرکن‌ها نیز زیرکن‌های به دام افتاده به سن پالئوزن-نئوزن هستند.

قدردانی

نویسنده‌گان مقاله، از دانشگاه هرمزگان برای تأمین مخارج این پژوهش تشكر می‌کنند.

مراجع

- [1] Husseini M.I., Husseini S.I., "Origin of the Infracambrian Salt Basins of the Middle East", From BROOKS, J. (ed.), Classic Petroleum Provinces, Geological Society Special Publication 50 (1990) 279-292.
- [2] Mortazavi M., Jafari Sadr A., Houshmandzadeh A., "Progress report on studying salt domes of Hormozgan province", Prepared in Mineral Department of Hormozgan Governorate Economic Review GroupReport number 1.(1989).
- [3] McQuillan H., "The role of basement tectonics in the control of sedimentary facies, structural patterns and salt plug emplacements in the Zagros fold belt of southwest Iran", Journal of Southeast Asian Earth Sciences 5(1) (1991) 453-63.
- [4] Faramarzi N.S., Amini S., Schmitt A.K., Hassanzadeh J., Borg G., McKeegan K., Razavi S.M.H., Mortazavi S.M., "Geochronology and geochemistry of rhyolites from Hormuz Island, southern Iran: A new record of Cadomian arc magmatism in the Hormuz Formation", Lithos 236–237 (2015) 203–211.
- [5] Bosak P., Garos J., Spudil J., Sulovsky P., Vaclavek V., "Salt plugs in the East Zagros, Iran: Results of Regional Geological Reconnaissance", Geolines, (Praha) (1998) 7.
- [6] Gansser A., "The enigma of the Persian salt dome inclusions", Eclogae Geologicae Helvetiae. Symposium on Swiss Molasse Basin 85 (1992).
- [7] Rahnama-Rad J., Farhoudi G., Ghorbani H., Habibi Mood Sh., Derakhshani R., "Pierced salt domes in the Persian Gulf and in the Zagros mountain ranges in southern Iran and their relationship to hydrocarbon and basement

دیابازهای سازند هرمز، اوژیت و دیوپسید هستند و یک گستره دمایی ۱۱۰۰ تا ۱۳۰۰ درجه سانتی‌گراد برای این کانی‌ها بدست آمده است که نشان دهنده‌ی ماقمایی بودن این کانی‌هاست. این پیروکسن‌ها، بیشتر نیمه قلیایی و تعدادی قلیایی هستند و در گستره بازالت‌های تولیتی درون صفحه‌ای یا بازالت‌های کف اقیانوسی قرار می‌گیرند. گدازه مادر پلازیوکلاز فلدسپات‌ها و کلینوپیروکسن‌های مورد بررسی اکسید شده است.

این سنگ‌ها، دستخوش دگرسانی‌های اپیدوتی‌شدن، زوئیسیتی‌شدن، کلریتی‌شدن، اورالیتی‌شدن، آلبیتی‌شدن و کربناتی‌شدن و همچنین، بیشتر دچار دگرگونی گرمایی رخساره‌ی شیست سبز شده‌اند اما شرایط دگرگونی انتقالی از رخساره‌ی شیست سبز به رخساره‌ی آمفیبولیت را نیز نشان می‌دهند. بیشتر دگرسانی‌های این سنگ‌ها، مربوط به فرآیند دگرنهادی نفوذی در اثر فعالیت آب دریا یا شوراب‌های داغ در حال چرخش در این گنبدهای نمکی و دگرسانی گرمایی توسط سیال‌های گرمایی با خاستگاه رسوبی، در زمان تشکیل این توده‌هاست. سیال‌های آبدار غنی از CO_2 و بر هم کنش سنگ-سیال، نقش قابل توجهی در دگرگونی این سنگ‌ها داشته‌اند. کانی‌های پلازیوکلاز فلدسپات، پیروکسن، الیوین، فلدسپات قلیایی، آپاتیت، روتیل، مگنتیت و پیریت جزء کانی‌های ماقمایی و اولیه‌ی سنگ محسوب می‌شوند و سایر کانی‌ها، در نتیجه تجزیه و تبدیل کانی‌های اولیه، در اثر واکنش با سیال‌های گرمایی و دگرسانی و دگرگونی گرمایی بوجود آمده‌اند.

زیرکن‌های تجزیه شده گنبد نمکی بند معلم و گنبد نمکی چمپه، بیشتر خاستگاه ماقمایی دارند. زیرکن‌های مورد بررسی گنبد نمکی بند معلم ($16 \pm 6/4$ دانه زیرکن)، سن $539/4$ میلیون سال پیش و زیرکن‌های مورد بررسی گنبد نمکی چمپه ($20 \pm 6/1$ دانه زیرکن)، سن $543/5 \pm 6/1$ میلیون سال پیش را نشان می‌دهند که نشان دهنده‌ی سن تبلور و تشکیل سنگ‌های دیابازی مورد بررسی، در کامبرین پیشین هستند. این دیابازها، می‌توانستند همزمان و/یا پس از شروع

- Island Apatite”, Journal of Economic Geology 1(6) (2014).*
- [19] Pourkaseb H., Rangzan K., Charchi A., Saiedi S., “*Mineralogical studies of Igneous rocks in Jahani salt dome (Firuzabad), with emphasis on their economic importance*”, Second National Conference of the Iranian Economic Geology Society (2012).
- [20] Aghanabati A., Fotouhi V., Escandari S., “*The geological and Exploratory activities carried out in provinces and the third five years program*”, ministry of mine and industries, the Ministry of Industry and Mines, Geological Survey of Iran report(1) (2002).
- [21] Momenzadeh M, Heidari E., “*Genesis and formation of the Hormoz Formation and its mineral restores: a genetic analyses*”, Geological Survey of Iran (1990).
- [22] National Geosciences Database, <http://ngdir.ir/GeoportalInfo/PSubjectInfoDetail.aspx?PID=725&index=7> (2015).
- [23] Ahmadi Moghadam P., “*Petrogenesis of mafic igneous rocks in the Hormoz series, south of Iran*”, Doctor of Philosophy (PhD) thesis, not defended.
- [24] Deer W.A., Howie R.A., Zussman J., “*Rock-Forming Minerals*”, New York: Wiley 4 (1963) 2.
- [25] Taghipour S., Khalili M., Mackizadeh M.A., Kananian A., Taghipour B., “*Mineralogy, geochemistry and petrogenesis of igneous inclusions within three inactive diapirs, Zagros belt, Shahre-kord, Iran*”, Geol. Mag. 150 (1) (2013) 72–88.
- [26] Fuhrman M.L., Lindsley D.H., “*Ternary-feldspar modeling and thermometry*”, American Mineralogist 73 (1988) 201–215.
- [27] Morimoto N., “*Nomenclature of pyroxenes*”, Canadian Mineralogist 27 (1989) 143-156.
- [28] Lindsley D.H., Andersen D.J., “*A two-pyroxene thermometer*”, Journal of Geophysical Research 88 (S2) (1983) A887–A906.
- [29] LE BAS M.J., “*The role of aluminum in igneous clinopyroxene with relation to their parentage*”, American Journal of Science 260 (1962) 267–88.
- tectonics”, Iranian Journal of Earth Sciences 1 (2009) 57-72.*
- [8] Talbot C.J., Jarvis R.J., “*Age, budget and dynamics of an active salt extrusion in Iran*”, Journal of Structural Geology 6(5) (1984) 521-533.
- [9] Talbot C.J., “*Extrusions of Hormuz salt in Iran*”, Geological Society, London, Special Publications 143 (1998) 315-334.
- [10] Talbot C., Aftabi P., Chemia Z., “*Potash in a salt mushroom at Hormoz Island, Hormoz Strait, Iran*”, Ore Geology Reviews 35 (2009) 317–332.
- [11] Ghazban F., Al-Aasm I.S., “*Hydrocarbon-induced diagenetic dolomite and pyrite formation associated with the Hormoz Island salt dome, offshore Iran*”, Journal of Petroleum Geology 33(2) (2010) 183-196.
- [12] Edgell H.S., “*Salt tectonism in the Persian Gulf Basin*”, Salt Tectonics, Geological Society Special Publication 100 (1996) 129-151.
- [13] Kent P.E., “*The Emergent Hormoz Salt Plugs of Southern Iran*”, Journal of Petroleum Geology 2(2) (1979) 117-144.
- [14] Jahani S., Callot J.P., Letouzey J., Frizon de Lamotte D., “*The eastern termination of the Zagros Fold-and-Thrust Belt, Iran: Structures, evolution, and relationships between salt plugs, folding, and faulting*”, TECTONICS 28 (2009).
- [15] Reuning L., Schoenherr J., Heimann A., Urai J.L., Littke R., Kukla P.A., Rawahi Z., “*The surface-piercing salt domes in the Ghaba Salt Basin (Oman): A comparison to the intra-salt hydrocarbon play of the Ara Group*”, Geophysical Research Abstracts 11 (2009).
- [16] Taghipour S., Taghipour B., “*Mineralogical studies of metasomatic minerals within volcanic rocks of High Zagros salt domes*”, Iranian Journal of Crystallography and Mineralogy 4(17) (1388) 535-550.
- [17] Atapour H., Aftabi A., “*Rapitan-type banded iron formation at Hormoz Island, Iran*”, Geological Survey of Iran, The 30th Symposium, Programme with Abstracts with English abstract (2012).
- [18] Rostami A., Baz Amad M., Haj Alilu B., Moazzen M., “*Study of the Geochemical behaviour of rare earth minerals in the Hormoz*

- [33] Bucher K., Grapes R., “*Petrogenesis of Metamorphic Rocks*”, Springer-Verlag Berlin Heidelberg (2011).
- [34] Wu C.Z., Santosh M., Chen Y., Samson I.M., Lei R.X., Dong L.H., Qu X., Gu L.X., “*Geochronology and geochemistry of Early Mesoproterozoic meta-diabase sills from Quruqtagh in the northeastern Tarim Craton: Implications for breakup of the Columbia supercontinent*”, Precambrian Research 241 (2014) 29–43.
- [30] Nisbet E.G., Pearce J.A., “*Clinopyroxene composition in mafic lavas from different tectonic settings*”, Contributions to Mineralogy and Petrology 63 (1977) 149–60.
- [31] France L., Ildefonse B., Koepke J., Bech F., “*A new method to estimate the oxidation state of basaltic series from microprobe analyses*”, Journal of Volcanology and Geothermal Research 189 (2010) 340–346.
- [32] Spray A., “*METAMORPHIC TEXTURES*”, Pergamon Press Ltd. (1969).